

文章编号:0253-9950(2007)03-0151-05

t-BAMBP 分离铷钾萃取机理及热力学函数研究

刘雪颖¹, 杨锦瑜², 陈晓伟², 张倩²

1. 广西工学院 科学技术处, 广西 柳州 545006

2. 广西工学院 生物与化学工程系, 广西 柳州 545006;

摘要:为了提取稀有金属铷, 研究了 4-叔丁基-2-(α -甲苄基)酚(t-BAMBP, 简称 ROH)/二甲苯从高含量 Na^+ , K^+ 的碱性水溶液中萃取铷、钾的萃取机理。通过考察分配比 D 与 pOH 以及 ROH 浓度的关系, 使用斜率法和饱和法测得萃取反应的萃合物组成为 $\text{MOR} \cdot 2\text{ROH}$ (M 为 K^+ , Rb^+), 证明了萃取机理为阳离子交换反应, 确定萃取反应式为: $\text{M}_{(\text{a})}^+ + \text{OH}_{(\text{a})}^- + 3\text{ROH}_{(\text{o})} \rightleftharpoons \text{MOR} \cdot 2\text{ROH}_{(\text{o})} + \text{H}_2\text{O}_{(\text{a})}$, 进而计算得 Rb, K 的表观平衡常数 K 分别为 2.729 和 1.317。由分配比与温度的关系, 求得 Rb, K 的萃取热焓 ΔH 分别为 -48.65, -23.99 kJ/mol, 由 ΔH 以及表观平衡常数 K 计算得 Rb, K 的萃取反应的自由能 ΔG 分别为 -2.487, -0.683 kJ/mol; 熵变 ΔS 分别为 -154.9, -78.21 J/(K·mol), 证明萃取反应是放热反应。 Rb 的萃取能力大于 K 。

关键词: 铷; 萃取; t-BAMBP; 反应机理; 热力学函数

中图分类号: O615.11 文献标识码: A

Extraction Mechanism and Thermodynamic Functions of Rb^+ With t-BAMBP

LIU Xue-ying¹, YANG Jin-yu², CHEN Xiao-wei², ZHANG Qian²

1. Department of Science and Technology, Guangxi University of Technology, Liuzhou 545006, China
2. Department of Biological and Chemical Engineering, Guangxi University of Technology, Liuzhou 545006, China;

Abstract: The extraction mechanism and thermodynamic functions of K^+ and Rb^+ with 4-t-butyl-2(α -methylbenzy) phenol (t-BAMBP, as ROH) - xylene extraction system were studied in alkali solution with high concentration of Na^+ and K^+ . A modified hypothesis on mechanism was developed. The extraction balance reaction was determined by slope method and saturation method. By investigating the relation between coefficient of distribution (D) and pOH , concentration of ROH, temperature for the extraction of Rb^+ and K^+ , the extracted compound was determined as $\text{MOR} \cdot 2\text{ROH}$ (M for K^+ , Rb^+), the extraction mechanism was determined as cation exchange mechanism, the extraction formula was determined as $\text{M}_{(\text{a})}^+ + \text{OH}_{(\text{a})}^- + 3\text{ROH}_{(\text{o})} \rightleftharpoons \text{MOR} \cdot 2\text{ROH}_{(\text{o})} + \text{H}_2\text{O}_{(\text{a})}$. The extraction apparent equilibrium constants (K) of Rb, K is 2.729, 1.317, respectively. Meanwhile, the thermodynamic functions of Rb and K is: ΔH , -48.65, -23.99 kJ/mol; ΔG , -2.487, -0.683 kJ/mol; ΔS , -154.9, -78.21 J/(K·mol).

Key words: rubidium; extraction; t-BAMBP; mechanism; thermodynamic function

铷是一种较贵重的稀有金属,可用于制造光电管、光电倍增管,还可用于离子推进火箭中新的能量转换方法的研究^[1]。在氧化铝厂稼车间的碳分母液中, Rb^+ 的浓度较低, 并且含有的大量 Na^+ 和 K^+ 会干扰 Rb^+ 的分离提取。文献[2-4]报道了苯酚类化合物(主要为 4-仲丁基-2-(α -甲苄基)酚(s-BAMBP)和 4-叔丁基-2-(α -甲苄基)酚(t-BAMBP))对铯、铷、钾的萃取, 但有关萃取机理的内容不多。陈正炎等^[5]研究了 t-BAMBP 萃取铷、铯的反应机理及热力学函数, 但该文对机理的假设存有不确切之处。目前尚未见到其它有关 t-BAMBP 从含大量钾的溶液中萃取低浓度铷的反应机理及热力学函数的报道。本工作拟采用 t-BAMBP-二甲苯为萃取剂对含大量 Na^+ 和 K^+ 的低浓度铷溶液进行萃取分离, 研究 pOH 和 t-BAMBP 浓度与分配比的相关性及温度效应, 并确定萃合物的组成及萃取的反应机理, 进而求得与萃取反应相关的热力学函数。

1 实验部分

1.1 试剂与仪器

t-BAMBP, 质量分数大于 96%, 核工业北京化工冶金研究院; RbCl , 分析纯, 上海化学试剂采购供应站分装; 其它试剂均为分析纯。

WYD-402B 型原子吸收分光光度计, 沈阳分析仪器厂。

1.2 实验方法

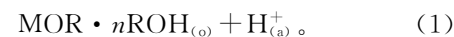
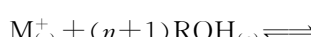
将体积比(o/a)为 1:1 的 t-BAMBP/二甲苯和含铷、钾的水相置于分液漏斗中, 按实验条件在振荡器上振荡 3 min(注明除外), 静置分层。分析萃取前后水相中钾、铷的浓度, 用差减法求出有机相中金属离子的浓度, 计算钾、铷的分配比。

1.3 分析方法

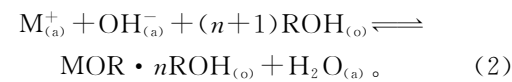
碱金属离子浓度用原子吸收分光光度计测定^[6]。

2 萃取平衡理论分析及相关热力学函数计算

萃取剂 t-BAMBP(ROH)为弱酸性取代苯酚类化合物, 在碱性溶液中苯酚上的羟基解离质子 H^+ , 而被萃取离子 M^+ 则与 H^+ 发生交换作用, 生成酚酸盐。文献[5]假设在水相中铷(铯)的萃取反应为:



但由于是在碱性溶液中进行萃取分离, 上述假设显然无法成立。本文提出改进的反应假定为:



则其表观萃取平衡常数为:

$$K = \frac{c(\text{MOR} \cdot n\text{ROH})_{(\text{o})} \cdot c(\text{H}_2\text{O})_{(\text{a})}}{c(\text{M}^+)_{(\text{a})} \cdot c(\text{OH}^-)_{(\text{a})} \cdot c(\text{ROH})_{(\text{o})}^{(\text{n}+1)}}; \quad (3)$$

分配比为:

$$D = \frac{c(\text{M})_{(\text{o})}}{c(\text{M})_{(\text{a})}} = \frac{c(\text{MOR} \cdot n\text{ROH})_{(\text{o})}}{c(\text{M}^+)_{(\text{a})}}. \quad (4)$$

将式(4)代入式(3), 整理后取对数有:

$$\begin{aligned} \lg D &= \lg K + (\text{n}+1)\lg c(\text{ROH})_{(\text{o})} + \lg c(\text{OH}^-)_{(\text{a})} \\ &= \lg K + (\text{n}+1)\lg c(\text{ROH})_{(\text{o})} - \text{pOH}_{(\text{a})}. \end{aligned} \quad (5)$$

用 $\lg D$ 对 $\lg c(\text{ROH})_{(\text{o})}$ 作图, 斜率为 $n+1$, 由此可以确定 n 的值。

对式(5)进行最小二乘法线性回归处理^[7], 就可以求得对应温度下的萃取平衡常数 K 。

温度与分配比 D 的关系式为^[8]:

$$\lg D = \frac{-\Delta H}{2.303RT} + C. \quad (6)$$

以 $\lg D$ 对 T^{-1} 作图, 则其对应的斜率为 $\frac{-\Delta H}{2.303R}$, 则可求得 ΔH 。

ΔG 与 ΔS 可根据下面两式计算得到:

$$\Delta G = -2.303RT\lg K, \quad (7)$$

$$\Delta G = \Delta H - T\Delta S. \quad (8)$$

3 结果和讨论

3.1 萃取平衡时间的影响

料液组成为: $\text{K}^+, 0.098 \text{ mol/L}$; $\text{Rb}^+, 0.087 \text{ mol/L}$; 料液中 NaOH 浓度为 1.0 mol/L。萃取温度为 303 K, t-BAMBP 浓度为 1.0 mol/L, 萃取时间对萃取 K, Rb 的影响结果列入表 1。

由表 1 可以看出, t-BAMBP/二甲苯萃取 Rb^+ 的反应迅速, 在 2~3 min 即可达到萃取平衡, 故萃取平衡时间选择为 3 min 较合适。

3.2 分配比 D 与 pOH 的关系

固定 t-BAMBP 的浓度为 1.0 mol/L, 改变料液中 NaOH 的浓度, 研究 pOH 对 K^+, Rb^+ 萃取的影响。将试验结果以 $\lg D$ 对 pOH 作图并示于图 1, 2。萃取料液组成为: $\text{K}^+, 0.116 \text{ mol/L}$; $\text{Rb}^+, 0.091 \text{ mol/L}$ 。萃取温度为 298 K,

t-BAMBP浓度为1.0 mol/L。

由图1,2可求得两直线的斜率分别为 $-0.942,-0.921$,归整为 -1 。表明分配比随 $c(\text{OH}^-)$ 的一次方变化。说明了 K^+,Rb^+ 在萃取过程中与t-BAMBP(ROH)的一个弱酸性 H^+ 进行了交换,在有机相中分别形成 KOR,RbOR 酚酸盐,证明了萃取机理为阳离子交换反应。

3.3 分配比D与萃取剂(ROH)浓度的关系

以不同浓度的t-BAMBP/二甲苯对含有 K^+,Rb^+ 的水相进行萃取,以考察萃取剂浓度对萃取平衡的影响。将试验结果以 $\lg D$ 对 $\lg c(\text{ROH})_{(\text{o})}$ 作图并示于图3,4。萃取料液组成为 $\text{K}^+,0.107 \text{ mol/L};\text{Rb}^+,0.087 \text{ mol/L}$;萃取温度为298 K,料液中NaOH浓度为1.0 mol/L。

表1 萃取时间的影响
Table 1 Effect of different extracting time on extraction performance

t/min	$c(\text{K}^+)_{\text{rem}}/(\text{mol} \cdot \text{L}^{-1})$	$c(\text{Rb}^+)_{\text{rem}}/(\text{mol} \cdot \text{L}^{-1})$	$D(\text{K})$	$D(\text{Rb})$	$\alpha(\text{Rb}/\text{K})$	$E(\text{K})/\%$	$E(\text{Rb})/\%$
1	0.084	0.030	0.17	1.9	11	14.2	65.5
2	0.081	0.024	0.22	2.7	12	17.3	72.4
3	0.084	0.023	0.14	2.8	20	14.2	73.6
5	0.084	0.022	0.14	3.0	21	14.2	74.7
10	0.084	0.023	0.14	2.8	20	14.2	73.6

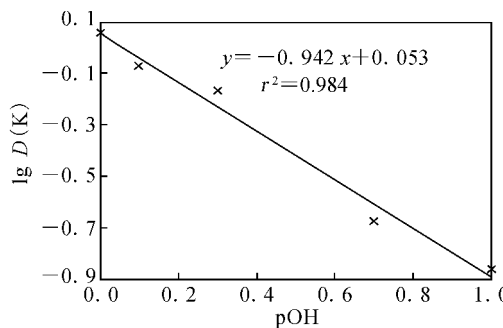


图1 $D(\text{K})$ 与 pOH 的关系

Fig. 1 Relation between $D(\text{K})$ and pOH

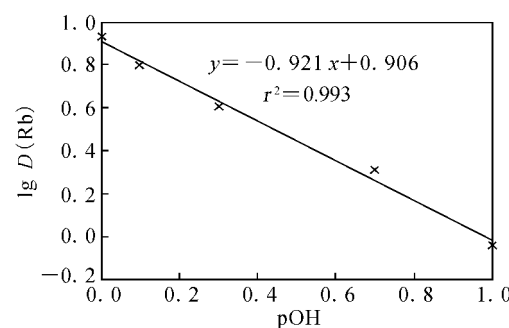


图2 $D(\text{Rb})$ 与 pOH 的关系

Fig. 2 Relation between $D(\text{Rb})$ and pOH

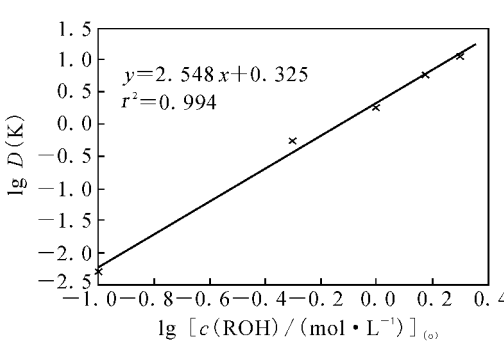


图3 $D(\text{K})$ 与 $c(\text{ROH})$ 的关系

Fig. 3 Relation between $D(\text{K})$ and $c(\text{ROH})$

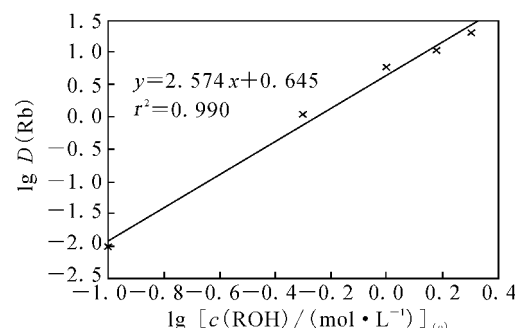
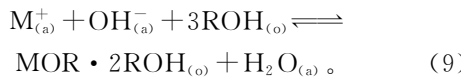


图4 $D(\text{Rb})$ 与 $c(\text{ROH})$ 的关系

Fig. 4 Relation between $D(\text{Rb})$ and $c(\text{ROH})$

由图 3,4 可求得两直线的斜率分别为 2.548, 2.574, 归整为 3。则可以将式(2)和式(5)分别写为:



$$\lg D = \lg K + 3\lg c(\text{ROH})_{(\text{o})} - \text{pOH}_{(\text{a})} \quad (10)$$

将实验数据对式(10)进行最小二乘法线性回归, 求得实验温度下萃取反应的表观平衡常数分别为: $K(K)=1.317$, $K(Rb)=2.729$ 。

3.4 饱和法求萃合物组成

用 1.0 mol/L ROH-二甲苯萃取含 0.099 mol/L Rb^+ 的 pH=14 水相; 以同样浓度的有机相萃取含 0.106 mol/L K^+ 的 pH=14 水相, 直到水相中 Rb^+ 和 K^+ 浓度几乎不再改变为止, 萃取相比(o/a)为 1:1, 萃取温度为 283 K。实验结果列入表 2,3。结果表明, ROH 与铷、钾的摩尔比均约为 3:1。证明萃合物与式(9)相符。

3.5 分配比 D 与温度的关系

在不同的温度下采用 1.0 mol/L t-BAMBP/二甲苯萃取含 Rb^+ , K^+ 的水溶液, 考察温度对萃取的影响。萃取料液组成为: K^+ , 0.116 mol/L;

Rb^+ , 0.091 mol/L; t-BAMBP 浓度为 1.0 mol/L; 料液中 NaOH 浓度为 1.0 mol/L。将试验结果以 $\lg D$ 对 T^{-1} 作图并示于图 5,6。由图 5,6 可求得两直线的斜率分别为 1.253×10^3 , 2.541×10^3 。

根据式(6)可分别求得:

$$\Delta H(\text{K}) = -23.99 \text{ kJ/mol},$$

$$\Delta H(\text{Rb}) = -48.65 \text{ kJ/mol}.$$

由上述萃取热焓可知, 使用 t-BAMBP/二甲苯萃取体系萃取铷、钾的过程为放热反应, 故该萃取反应在低温下有利于萃取的进行。

根据式(7),(8)可分别求得在试验温度($T=298 \text{ K}$)下的 ΔG 与 ΔS :

$$\Delta G(\text{K}) = -0.683 \text{ kJ/mol},$$

$$\Delta G(\text{Rb}) = -2.487 \text{ kJ/mol},$$

$$\Delta S(\text{K}) = -78.21 \text{ J/(K} \cdot \text{mol}),$$

$$\Delta S(\text{Rb}) = -154.9 \text{ J/(K} \cdot \text{mol}).$$

从上述计算结果可以看出, t-BAMBP/二甲苯萃取铷、钾的能力随其离子半径增大而增强, 对于铷的 ΔG , ΔS 和 ΔH , 计算结果都较钾的结果要小, 有利于铷的萃取, 其萃取能力为 Rb 大于 K, 结果与文献[4]报道相符。

表 2 饱和法测定 ROH 与铷的摩尔比

Table 2 Molar ratio of ROH and Rb^+ with saturation method

n	1	2	3	4	5	6	7	8
$c(\text{Rb}^+)_{\text{rem}}/(\text{mol} \cdot \text{L}^{-1})$	0.009	0.011	0.015	0.055	0.082	0.093	0.098	0.099
$c(\text{Rb}^+)_{(\text{o})}/(\text{mol} \cdot \text{L}^{-1})$	0.090	0.178	0.262	0.306	0.323	0.329	0.330	0.331
$n(\text{ROH}) : n(\text{Rb}^+)$								1 : 0.330 (3.030 : 1)

表 3 饱和法测定 ROH 与钾的摩尔比

Table 3 Molar ratio of ROH and K^+ with saturation method

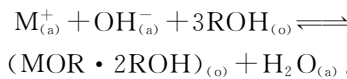
n	1	2	3	4	5	6	7	8
$c(\text{K}^+)_{\text{rem}}/(\text{mol} \cdot \text{L}^{-1})$	0.007	0.009	0.020	0.069	0.089	0.100	0.105	0.107
$c(\text{K}^+)_{(\text{o})}/(\text{mol} \cdot \text{L}^{-1})$	0.099	0.196	0.282	0.319	0.336	0.342	0.344	0.343
$n(\text{ROH}) : n(\text{K}^+)$								1 : 0.343 (2.915 : 1)

4 结论

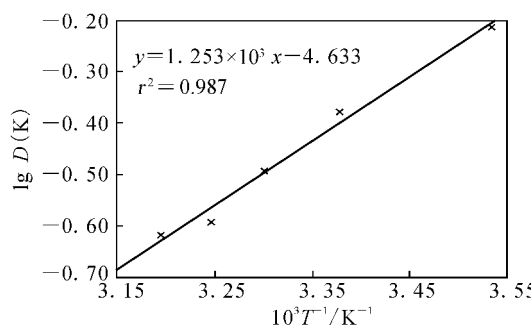
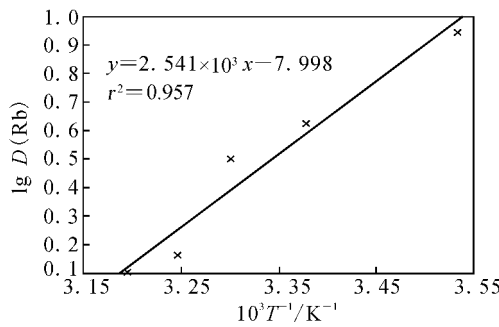
(1) 研究了 pOH 值以及萃取剂浓度对萃取铷、钾的影响, 计算出萃取的表观平衡常数分别为 $K(K)=1.317$, $K(Rb)=2.729$ 。

(2) 利用斜率法与饱和法确定了萃合物的组

成为 $\text{MOR} \cdot 2\text{ROH}$, 萃取平衡式为



(3) 计算出铷、钾萃取反应的 ΔG , ΔS 与 ΔH 等相关热力学函数, 证明萃取反应是放热反应。Rb 的萃取能力大于 K。

图5 $\lg D(K)$ 与 T^{-1} 的关系Fig. 5 Relation between $\lg D(K)$ and T^{-1} 图6 $\lg D(Rb)$ 与 T^{-1} 的关系Fig. 6 Relation between $\lg D(Rb)$ and T^{-1}

参考文献:

- [1] 常发现, 夏汉祥, 刘祖同, 等. 轻金属冶金分析 [M]. 北京: 冶金工业出版社, 1992: 15.
- [2] Fujii T, Nishizawa K. Isotope Separations of Potassium and Rubidium in Chemical Exchange System With Dicyclohexano-18-Crown-6 [J]. J Radioanal Nucl Chem, 2001, 249(3): 569-571.
- [3] Banerjee S, Mukhopadhyay K, Mukhopadhyay B, et al. Extraction Separation of ^{86}Rb From ^{85}Sr in Trace Level With 18-Crown-6 in Nitrobenzene[J]. J Radioanal Nucl Chem, 2002, 252(1): 157-160.
- [4] Kumar A, Mohapatra P K, Manchanda V K. Extraction of Cesium-137 From Nitric Acid Medium in the Presence of Macroyclic Polyethers[J]. J Radioanal Nucl Chem, 1998, 229(1): 169-172.
- [5] 陈正炎, 陈富珍. t-BAMBP萃取铷、铯反应机理及热力学函数研究[J]. 稀有金属, 1995, 19(5): 330-333.
- [6] 杜燕萍, 胡满成, 李淑妮, 等. 化合物 Rb[(H₂Ssal)(H₂O)]的合成与表征[J]. 稀有金属, 2004, 28(5): 900-902.
- [7] 梁逸曾, 俞汝勤. 化学计量学[M]. 北京: 高等教育出版社, 2003: 125-127.
- [8] 汪家鼎, 陈家镛. 溶剂萃取手册[M]. 北京: 化学工业出版社, 2001: 3.